

ЗАДАЧА О СФЕРИЧЕСКОМ ПОРШНЕ В СЖИМАЕМОЙ СРЕДЕ
С «СУХИМ» ТРЕНИЕМ

B. B. Башуров

(Челябинск)

Исследуется автомодельная задача о движении сферического поршня в среде с «сухим» трением. Поршень движется с постоянной скоростью в неидеальной среде.

1. Рассмотрим сферический поршень, начинающий свое движение из начала координат и движущийся с постоянной скоростью в среду с уравнением состояния

$$\begin{aligned} -\frac{1}{3}(3(\sigma^r + 2\sigma^\theta)) &= K(\rho / \rho_0 - 1)^\gamma, \quad \gamma \geq 1, \quad \rho \geq \rho_0 \\ \sigma^r + 2\sigma^\theta &= 0, \quad \rho < \rho_0 \\ \frac{1}{2}(\sigma^r - \sigma^\theta) &= \kappa p, \quad \kappa < 0 \end{aligned} \quad (1.1)$$

Здесь σ^r и σ^θ — соответственно радиальные и азимутальные напряжения, p — давление, ρ и ρ_0 — плотности, K — коэффициент объемного сжатия, κ — коэффициент сухого трения, u_p — скорость поршня.

Подобные уравнения состояния рассматривались в [1, 2].

Уравнения движения имеют вид

$$\begin{aligned} \frac{\partial u}{\partial t} + u \frac{\partial u}{\partial r} &= \frac{1}{\rho} \frac{\partial \sigma^r}{\partial r} + \frac{2(\sigma^r - \sigma^\theta)}{\rho r} \\ \frac{\partial p}{\partial t} + u \frac{\partial p}{\partial r} + \rho \frac{\partial u}{\partial r} + \frac{2u\rho}{r} &= 0 \end{aligned} \quad (1.2)$$

Начальные и граничные условия для (1.1), (1.2) имеют вид

$$\begin{aligned} u = p = 0, \quad \rho = \rho_0 &\text{ при } t = 0, \quad r \geq 0 \\ u = u_p &\text{ при } r = u_p t \\ u \rightarrow 0, \quad p \rightarrow 0, \quad \rho \rightarrow \rho_0 &\text{ при } r \rightarrow \infty \end{aligned}$$

Анализ размерных величин [3] показывает, что задача автомодельна. Введем безразмерные величины

$$\begin{aligned} \lambda &= rt^{-1} \left[\frac{\rho_0}{(1 - \frac{4}{3}\kappa)K} \right]^{1/2}, \quad U = u \left(\frac{\rho_0}{(1 - \frac{4}{3}\kappa)K} \right)^{1/2} \\ P &= p \cdot K^{-1}, \quad R = \rho \rho_0^{-1}, \quad \alpha = 4\kappa (1 - \frac{4}{3}\kappa)^{-1} \end{aligned}$$

В этих переменных система (1.2) принимает вид

$$\begin{aligned} \frac{dU}{d\lambda} \left(\frac{U}{\lambda} - 1 \right) &= -\frac{1}{\lambda R} \frac{dP}{d\lambda} + \frac{\alpha}{\lambda^2} \frac{P}{R} \\ \frac{dR}{d\lambda} \left(\frac{U}{\lambda} - 1 \right) + \frac{R}{\lambda} \frac{dU}{d\lambda} + 2 \frac{RU}{\lambda^2} &= 0 \\ P &= (R - 1)^\gamma \end{aligned} \quad (1.3)$$

Разрешим систему (1.3) относительно производных, используя третье соотношение из (1.3)

$$\begin{aligned}\frac{dU}{d\lambda} &= \lambda^{-1} \frac{\gamma^{-1}\alpha(U-\lambda)P^{1/\gamma}(P^{1/\gamma}+1)^{-1} + 2U}{\gamma^{-1}(U-\lambda)^2 P^{1/\gamma-1} - 1} \\ \frac{dP}{d\lambda} &= -\lambda^{-1} \frac{2U(U-\lambda)(P^{1/\gamma}+1) + \alpha P}{\gamma^{-1}(U-\lambda)^2 P^{1/\gamma-1} - 1}\end{aligned}\quad (1.4)$$

Краевые условия для (1.4) имеют вид

$$\begin{aligned}U &= \lambda \quad \text{при } \lambda = u_p \left(\frac{\rho_0}{(1 - 4/3\alpha) K} \right)^{1/2} \\ U &\rightarrow 0, \quad P \rightarrow 0 \quad \text{при } \lambda \rightarrow \infty.\end{aligned}$$

2. С учетом (1.1) условия на сильном разрыве [4] принимают вид

$$\begin{aligned}(P_1^{1/\gamma} + 1)(U_1 - \lambda) &= (P_2^{1/\gamma} + 1)(U_2 - \lambda) \\ P_1 - (P_1^{1/\gamma} + 1)U_1(\lambda - U_1) &= P_2 - (P_2^{1/\gamma} + 1)U_2(\lambda - U_2)\end{aligned}\quad (2.1)$$

Если фронт ударной волны распространяется по покоящейся среде, то $P_2 = 0$, $U_2 = 0$ и условия на разрыве принимают вид

$$(P_1^{1/\gamma} + 1)(U_1 - \lambda) = -\lambda, \quad P_1 - (P_1^{1/\gamma} + 1)U_1(\lambda - U_1) = 0$$

Вырожденный сильный разрыв ($P_1 \rightarrow 0$, $U_1 \rightarrow 0$) дает значение λ_c , отвечающее скорости распространения слабого разрыва. Несложные выкладки показывают, что

$$\gamma > 1, \quad \lambda_c = 0; \quad \gamma = 1, \quad \lambda_c = 1$$

Исключая P_1 из (2.1), получим некоторую кривую в плоскости λU . Нетрудно показать, что эта кривая лежит ниже прямой «начальных данных», т. е. прямой $\lambda = U$. Действительно, из первого соотношения в (2.1) видно, что при $\lambda > 0, P_1 > 0$ имеет место $U_1 < \lambda$.

Особые точки системы уравнений (1.4) определяются системой алгебраических уравнений

$$\begin{aligned}\lambda [(U - \lambda)^2 P^{1/\gamma-1} \gamma^{-1} - 1] &= 0 \\ \gamma^{-1}\alpha(U - \lambda)P^{1/\gamma}(P^{1/\gamma} + 1)^{-1} + 2U &= 0 \\ 2U(U - \lambda)(P^{1/\gamma} + 1) + \alpha P &= 0\end{aligned}\quad (2.2)$$

Пусть $\lambda = 0$, тогда

$$\gamma^{-1}\alpha UP^{1/\gamma}(P^{1/\gamma} + 1)^{-1} + 2U = 0, \quad 2U^2(P^{1/\gamma} + 1) + \alpha P = 0$$

Если $U = 0$, то $P = 0$

Если $U \neq 0$, то имеем

$$\gamma^{-1}\alpha P^{1/\gamma} = -2(P^{1/\gamma} + 1), \quad P^{1/\gamma} = -2(\gamma^{-1}\alpha + 2)^{-1} \quad (2.3)$$

$$U = \pm \gamma^{-1/2} \quad (2.4)$$

При некоторых значениях α и γ формулы (2.3), (2.4) определяют действительные особые точки.

Пусть $\lambda \neq 0$. В этом случае, умножая второе уравнение из (2.2) на $(U - \lambda)$ и используя первое уравнение, получим, что третье уравнение является следствием двух первых. Итак, особые точки в этом случае определяются системой

$$\gamma^{-1}(U - \lambda)^2 P^{1/\gamma-1} - 1 = 0, \quad 2U(U - \lambda)(P^{1/\gamma} + 1) + \alpha P = 0 \quad (2.5)$$

и образуют особую линию.

Особые точки $(0,0,0)$, $(0, \pm \gamma^{-1/2}[-2(\alpha\gamma^{-1} + 2)^{-1}]^{1/2(\gamma-1)}, [-2(\alpha\gamma^{-1} + 2)^{-1}]^\gamma)$ лежат вне области течения и влияют лишь на расположение интегральных кривых в пространстве $\lambda U P$; ни одна траектория (кроме траектории, отвечающей состоянию равновесия) не проходит через эти точки.

Рассмотрим поведение «особой» линии. Из (2.5) следует, что на особой линии выполнено соотношение

$$\gamma^{\gamma/(1-\gamma)}(U - \lambda)^{2\gamma/\gamma(\gamma-1)} = P \quad (2.6)$$

Из (2.1) путем несложных выкладок получаем, что на ударной волне

$$(\lambda - U)^2 = P^{(\gamma-1)/\gamma}(P^{1/\gamma} + 1)^{-1}$$

Траектория, начинающаяся на прямой $U - \lambda = 0$, не пересекает особой линии прежде, чем она пересечет линию сильного скачка. Действительно, пусть P_0 — начальное давление. В силу уравнений (1.4)

$$\frac{dP}{d\lambda} < 0, \quad \frac{a(\lambda - U)}{d\lambda} > 0$$

Вычислим значение правой части равенства (2.6) при

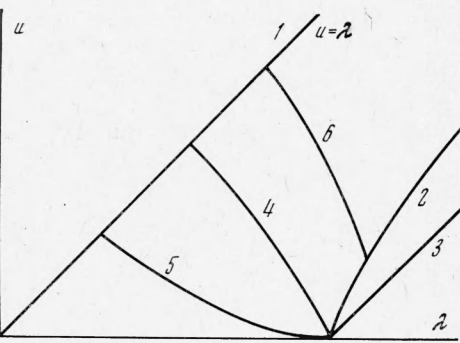
$$(\lambda - U)^2 = P^{(\gamma-1)/\gamma}(P^{1/\gamma} + 1)^{-1}$$

Это значение равно

$$\gamma^{\gamma/(1-\gamma)}P(P^{1/\gamma} + 1)^{2\gamma/(1-\gamma)}$$

Так как $\gamma > 1$, то это значение меньше P , т. е. ни в одной точке траектории, предшествующей ударной волне, равенство (2.6) выполнено быть не может.

На фигуре представлены прямая «начальных данных» 1, ударная волна 2, особая линия 3 и некоторые характерные траектории с $\gamma = 1$: сепаратриса 4, непрерывное решение 5, решение с ударной волной 6. Ясно, что при $\gamma > 1$ непрерывный режим течения невозможен. Однако при $\gamma = 1$ такая возможность появляется и при численном счете уравнений (1.4) такие траектории были обнаружены, п. 4. В дальнейшем рассмотрим случай $\gamma = 1$.



Обсуждаются численные результаты в рамках случая $\gamma = 1$.

3. При $\gamma = 1$ уравнения (1.4) принимают вид

$$\begin{aligned} dU/d\lambda &= [\alpha(U - \lambda)P(P + 1)^{-1} + 2U]\lambda[(U - \lambda)^2 - 1] \\ dP/d\lambda &= -[2U(U - \lambda)(P + 1) + \alpha P]\lambda[(U - \lambda)^2 - 1] \end{aligned} \quad (3.1)$$

Особая линия определяется как решение системы

$$(U - \lambda)^2 = 1, \quad 2U(U - \lambda)(P + 1) + \alpha P = 0$$

В плоскости λU особая линия распадается на две прямых, из которых интерес представляет прямая $U = \lambda - 1$. На этой прямой физически реализуемо лишь состояние

$$\lambda = 1, \quad U = 0, \quad P = 0$$

В остальных точках $P < 0$. Таким образом, точка $(1, 0, 0)$ является особой точкой, через которую может проходить траектория. Отметим, что эта точка соответствует слабому разрыву, и в этой точке можно «сшивать» область покоя с возмущенной областью.

Исследуем поведение интегральных кривых в окрестности особой точки. Согласно [8] вместо системы (3.1) рассмотрим систему

$$\begin{aligned} dU/d\tau &= \alpha (U - \lambda) P (P + 1)^{-1} + 2U \\ dP/d\tau &= -2U (U - \lambda) (P + 1) - \alpha P \\ d\lambda/d\tau &= \lambda [(U - \lambda)^2 - 1] \end{aligned} \quad (3.2)$$

и разложим решение в ряд в окрестности точки $(1, 0, 0)$. Линеаризованная система имеет вид

$$\frac{dU}{d\tau} = -\alpha P + 2U, \quad \frac{dP}{d\tau} = 2U - \alpha P, \quad \frac{d\delta}{d\tau} = -2U + 2\delta \quad (3.3)$$

Здесь $\delta = \lambda - 1$. Собственные числа системы (3.3), выписанные в порядке возрастания, образуют тройку чисел $-0, 2, 2 - \alpha$. Каждому собственному числу соответствует некоторое решение системы (3.3). Эти решения легко находятся; в векторной форме они имеют вид

$$Y_1 = (1, 2/\alpha, 1), \quad Y_2 = (0, 0, e^{2\tau}), \quad Y_3 = (e^{(2-\alpha)\tau}, e^{(2-\alpha)\tau}, 2x^{-1}e^{(2-\alpha)\tau})$$

Общее решение системы (3.3) представляется в виде

$$Y = C_1 Y_1 + C_2 Y_2 + C_3 Y_3$$

В точку $\lambda = 1, U = 0, P = 0$ входят интегральные кривые только при $C_1 = 0$. Таким образом, в окрестности особой точки интегральные кривые, которые могут отвечать некоторому движению, имеют вид

$$U = C_3 e^{(2-\alpha)\tau}, \quad P = C_3 e^{(2-\alpha)\tau}, \quad \delta = C_2 e^{2\tau} + C_3 2x^{-1} e^{(2-\alpha)\tau}$$

Траектории входят в особую точку при $\tau \rightarrow \infty$. Видно, что $U = P$ в окрестности особой точки, т. е. прямая $U = P$ является сепаратрисой в плоскости UP . Найдем зависимость U от λ . Имеем $(2 - \alpha)\tau = \ln(U/C_3)$, тогда

$$\lambda - 1 = C_2 (U/C_3)^{2/(2-\alpha)} + 2x^{-1}U,$$

$$d\lambda/dU = C_2 (U/C_3)^{\alpha/(2-\alpha)} C_3^{-1} + 2x^{-1}$$

Так как $\alpha < 0$, то при $C_2 \neq 0, U \rightarrow 0$ $d\lambda/dU \rightarrow \infty$ и все интегральные кривые касаются прямой $U = 0$. Если $C_2 = 0$, то $\lambda = 1 + 2x^{-1}U$ и это уравнение определяет направление (вторую сепаратрису), по которому в точку $(1, 0, 0)$ входит единственная траектория.

Таким образом, если осуществляется режим непрерывного течения, то течение почти всегда происходит без слабого разрыва.

Действительно, так как почти все (за исключением одной) траектории входят в точку $(1, 0, 0)$ с нулевым наклоном ($dU/d\lambda = 0$), то они сопрягаются с нулевым решением без разрыва первой производной от скорости; разрыва в $dP/d\lambda$ также нет, так как согласно

$$\lim_{\lambda \rightarrow 1-0} \frac{dP}{d\lambda} = \lim \frac{dP}{dU} \frac{dU}{d\lambda} = 0$$

4. При численных расчетах, во-первых, для различных значений α строилось решение, входящее в особую точку $(1, 0, 0)$ с ненулевым наклоном. Точка пересечения интегральной кривой с прямой начальных данных определяет значение скорости поршня u_p^* , разделяющее два существенно разных режима течения: с ударной волной и без ударной волны. Выяснилось, что с ростом α (т. е. с ростом коэффициента сухого трения κ) значение u_p^* растет и приближается к некоторому предельному значению.

Во-вторых, для различных значений α строилась зависимость давления на поршне от его скорости. Приведем эту зависимость для значения $\alpha = -1.75$

U_p	0.25	0.53	0.56	0.75	1.06
P_p	0.23	0.58	0.62	0.92	1.20

В-третьих, при $\alpha = -1.75$ находилась зависимость скорости фронта возмущения от скорости поршня

U_p	0.25	0.53	0.56	0.79	1.06	1.18
U_f	1	1	1	1.1	1.3	1.4

Таким образом установлено, что для данной сыпучей среды при малых скоростях поршня имеет место непрерывное течение без слабых разрывов; при некоторой скорости возникает слабый разрыв; при дальнейшем увеличении скорости возникает ударная волна.

В заключение отметим, что подобная задача рассматривалась в работе [2] в предположении несжимаемости среды; аналогичная задача в плоском случае решена в [6].

Трудности исследования системы уравнений (3.1) не позволяют аналитически исследовать вопросы устойчивости и единственности решений, однако результаты численного расчета, проведенные по программе, изложенной в докладе на I Всесоюзном семинаре по теории моделей механики сплошной среды [7], с хорошей точностью подтвердили результаты, полученные при приближенном решении системы (3.1).

Автор благодарит Т. Ф. Крюкову, выполнившую большинство расчетов.

Поступила 24 V 1972

ЛИТЕРАТУРА

- Надаи А. Пластичность и разрушение твердых тел. М., «Мир», 1969.
- Вахрамеев Ю. С. Некоторые соотношения подобия для движения сыпучей уплотняющейся среды. ПММ, 1970, т. 34, вып. 5.
- Седов Л. И. Методы подобия и размерности в механике. М., Гостехиздат, 1957.
- Седов Л. И. Механика сплошной среды, т. 1. М., «Наука», 1970.
- Немецкий В. В., Степанов В. В. Качественная теория дифференциальных уравнений. М.—Л., Гостехиздат, 1947.
- Григорян С. С., Черноусько Ф. Л. Задача о поршне для уравнений динамики грунтов. ПММ, 1961, т. 25, вып. 5.
- Быченков В. А., Гаджиева В. В., Куропатенко В. Ф. Расчет взрывов в разрушаемых средах. Доклад на 1-м Всесоюзном семинаре по теории моделей механики сплошной среды. Новосибирск, 1971.